

# Quantisierter Leitwert von Punktkontakten

Ch. Egerland<sup>1,\*</sup>, M. Pfeifer<sup>1,†</sup>

<sup>1</sup>Humboldt-Universität zu Berlin, Institut für Physik  
(Versuchsdatum: 22.06.2017)

Lorem ipsum dolor sit amet, consectetur adipiscing elit. Nam id facilisis ligula, a ultrices nibh. Nullam suscipit tellus nec mauris fermentum, ornare luctus neque tincidunt. Aenean commodo tincidunt varius. Phasellus faucibus metus non erat consectetur bibendum. Duis et luctus risus, at egestas justo. Nunc eleifend lacus ac laoreet scelerisque. Aenean cursus dignissim magna in ultrices. In eget nisl quis nisi.

## I. THEORIE

Der Leitwert ist das Inverse des Widerstandes und ist ein Maß dafür, wie gut ein Material Strom leitet. Die Quantisierung des Leitwertes kann wie folgt erklärt werden: Wir modellieren den Quantenpunktkontakt als ein effektives Kastenpotential mit Breite  $d_x$  und Dicke  $d_y$ . Es bilden sich senkrecht zur Bewegungsrichtung stehende Elektronenwellen mit der Energie

$$E_{lm} = \frac{\pi^2 \hbar^2}{2m_e} \left( \frac{l^2}{d_x^2} + \frac{m^2}{d_y^2} \right) \quad (1)$$

In Bewegungsrichtung haben wir unter den Voraussetzungen ein kontinuierliches Energiespektrum mit  $E_z = \hbar^2 k_z^2 / 2m_e$ . Die Gesamtenergie der elektronischen Zustände ist dann:  $E_{ges} = E_{lm} + E_z$ . Die Zustandsdichte in einem eindimensionalen System ist gegeben durch:

$$D(E)dE = \frac{1}{\pi \hbar} \sqrt{\frac{m}{2E}} dE \quad (2)$$

Bei Anlegen einer kleinen Spannung  $dV$  folgt ein kleiner Strom  $dI = evdn$ , wobei  $dn = D(E)dE$ . Somit ist (mit  $v = \sqrt{2E/m}$ ):

$$G = \frac{dI}{dV} = \frac{evD(E)dE}{dV} = \frac{e^2 v D(E) dV}{dV} = \frac{2e^2}{h} \quad (3)$$

## II. EXPERIMENT

Das Experiment ist bebildert in [1] erklärt und besteht im Wesentlichen aus einem Lock-In-Verstärker an den zunächst zwei Transformatoren sowie die Widerstandsbox angeschlossen sind. Nun wird überprüft, ob der gemessene Widerstand dem angeschlossenen Widerstand entspricht. Die Abweichung vom Idealfall dient uns dann als systematischer bzw. zufälliger Fehler (weiteres

hierzu in Abschnitt III). Nachdem die Widerstandsbox vermessen wurde wird der Messstab in flüssiges Helium getaucht und entsprechend der Tabelle 2.1 in [1] verkabelt. Nun messen wir erneut die Ströme/Spannungen und ermitteln hieraus den Leitwert (weiteres hierzu in Abschnitt III).

## III. DATEN UND ANALYSE

### III.1. Kalibrierung mittels Widerstandsbox

Die Widerstandsbox mit ihren fest einstellbaren Widerständen bietet uns die Möglichkeit den Messaufbau zu kalibrieren. Hierzu wurden für die festeingestellten Widerstände 100  $\Omega$ , 1  $k\Omega$ , 10  $k\Omega$ , 100  $k\Omega$  und 1  $M\Omega$  die Real- und Imaginärteile der Impedanz bei verschiedenen Spannungswerten ermittelt und durch pythagoräische Addition der Widerstand ermittelt. Als Fehler wurde auf der Widerstandsbox 0.1% für den Bereich 100 $\Omega$  – 10 $k\Omega$  und 1% für den Bereich 10 $k\Omega$  – 1 $M\Omega$  gegeben. Aus unseren Messdaten ergibt sich Abbildung 1

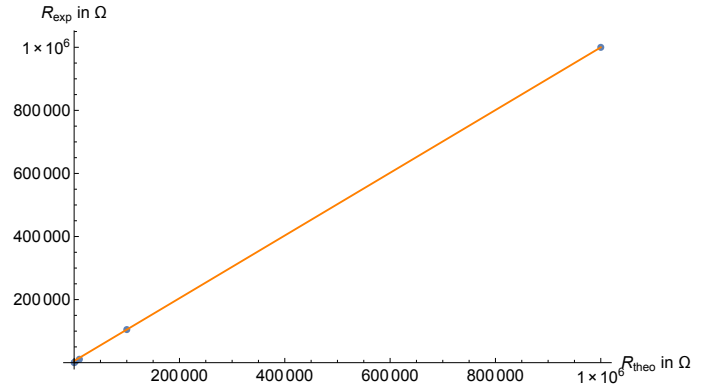


Abbildung 1. Kalibrierung mit Widerstandsbox, lineare Regression

## IV. SCHLUSSFOLGERUNG

Schlussfolgerung, sollten wir mal was von nem Buch oder so entnehmen nutzen wir:

\* Email: egerlanc@physik.hu-berlin.de

† Email: max.pfeifer@physik.hu-berlin.de

Ein Zitat mit Referenz auf das Buch[? ]

Lorem ipsum dolor sit amet, consectetur adipiscing elit. Nam id facilisis ligula, a ultrices nibh. Nullam suscipit tellus nec mauris fermentum, ornare luctus neque

tincidunt. Aenean commodo tincidunt varius. Phasellus faucibus metus non erat consectetur bibendum. Duis et luctus risus, at egestas justo. Nunc eleifend lacus ac laoreet scelerisque. Aenean cursus dignissim magna in ultrices. In eget nisl quis nisi.

- 
- [1] S. F. Fischer et al. : F-Praktikumsversuch Quantisierter Leitwert von Punktkontakten (Versuchsskript) (2011)
  - [2] B. J. van Wees et al. : Quantized Conductance of Point Contacts in a Two-Dimensional Electron Gas, Physical Review Letters Vol. 60 Nr.9 (1988)
  - [3] D. A. Wharam et al. : One-dimensional transport and the quantisation of the ballistic resistance Verlag, Phys. C: Solid State Phys. 21 (1988)
  - [4] Gabriela Apetrii : Quantum point contacts with one and two vertical modes fabricated with an atomic force microscope, Dissertation (2004)
  - [5] Henk van Houten et al. : Quantum Point Contacts, Physics Today July S. 22–27, (1996)
  - [6] Michael H. Knop : Ballistische Gleichrichtung in asymmetrischen elektronischen Wellenleiterkreuzen, Dissertation (2007)
  - [7] S. F. Fischer et al. : Control of the confining potential in ballistic constrictions using a persistent charging effect, Applied Physics Letters Vol. 81 Nr.15 (2002)
  - [8] G. Apetrii et al. : Influence of processing parameters on the transport properties of quantum point contacts fabricated with an atomic force microscope, Institute of Physics Publishing Semicond. Sci. Technol. 17 S. 735–739 (2002)

## Anhang A: Sonstiges

Hier sehen wir einen Beispiel Anhang und so könnte man Code in Latex einbinden:

```
> mkdir ~/8.13  
> mkdir ~/8.13/papers  
> mkdir ~/8.13/papers/template  
> cd ~/8.13/papers/template
```